

ステンレス鋼の耐食性に有害な析出物

Precipitation Harmful to Corrosion Resistance of Stainless Steel

渡邉隆之 日本冶金工業 (株) 技術研究所 Takayuki Watanabe 課長代理

1) はじめに

鉄鋼材料における析出物としては化学組成に依存し、熱処理などにより生じる炭化物、金属間化合物、製造工程で不可避的に生じる介在物に大別できる。ここまでの講座ではこれら析出物を利用することで特性向上が図れるという良い面を中心に紹介している。しかしながら、全てにおいて完全な材料が存在しないことからも析出物による改善も万能でない。むしろ、炭化物、介在物に関する研究は、悪影響をどれだけ低減できるかを目的とするものも多い。析出物の功罪という視点では罪の部分も大きく、特にステンレス鋼の耐食性については炭化物、σ相など金属間化合物の悪影響が古くから知られている12。

本稿ではステンレス鋼の耐食性について、析出物の悪影響とそれを回避する研究の現状について、その対象を炭化物、 σ 相、介在物として紹介させて頂くこととする。

2

炭化物による耐食性の劣化

ステンレス鋼の耐食性に対する析出物の影響としては炭化物の粒界析出、いわゆる鋭敏化による劣化がある。フェライト系、オーステナイト系ステンレス鋼のいずれにおいても析出する炭化物は主に $Cr_{23}C_6$ である。例えばオーステナイト系のSUS304では1100^C程度の温度で固溶化熱処理が施された後室温まで急冷されるが、この状態では炭素は固溶しており炭化物は析出していない。これを $500\sim950$ ^C に保持すると粒界に $Cr_{23}C_6$ が析出する。ステンレス鋼においては耐食性を改善するため M_0 , N などを添加する鋼種が多数あるが、 M_0 を含有するSUS316では $(Cr_{16}Fe_5Mo_2)$ C_6 となり、Cr のサイトの一部を M_0 が置換することが報告されている 30 。このため $M_{23}C_6$ と記載される場合が多く、金属部分 (M) を構成する組成範囲は広い。

炭化物の析出には拡散速度が大きく異なるCとCrが関与

しているため、炭化物の周囲には次のようなCrの濃度勾配 が生ずる。すなわち、炭化物が粒界に析出する初期において は拡散速度の速い炭素は広い範囲から供給を受けるのに対 し、Crは狭い範囲からの供給で賄われるため、図1に示す様 に炭化物近傍の母相にCr濃度が低い領域、すなわちCr欠乏 層が形成される。この領域は耐食性に劣り優先的に腐食され るため、粒界腐食の原因となる。このCr欠乏層は炭化物の析 出温度に保持し続けることによりCrが補給され消散してい く⁴⁾。しかしながら、炭化物が析出する温度域でのCrの拡散 速度は遅く、Cr濃度の低い領域を耐食性が問題無いレベルま で回復させるには長時間を要する。対策としては炭化物が生 じる様な温度域に一定時間以上晒さないことが第一である が、難しい場合も多い。例えば溶接を行う場合、過大な入熱 により熱影響部に炭化物が析出してしまう場合がある。炭化 物が析出しても、再度固溶化熱処理を施すことにより消失さ せることはできるが、酸洗、研磨などの追加が避けられない。

炭化物の析出挙動は、温度と熱処理時間により変化し、析 出領域はTTP (<u>Time-Temperature-Precipitation</u>) 図で表され る。その挙動にはC含有量が大きく影響することが知られて

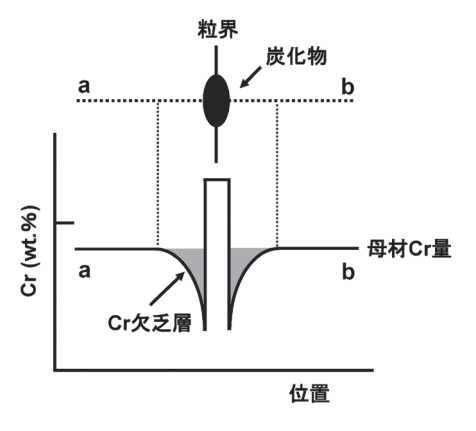


図1 ステンレス鋼における炭化物の析出と鋭敏化の模式図

いる⁵⁾。炭化物析出領域を示すと図2の様になり、C量を低減すると析出までの時間が長時間側へとシフトする。オーステナイト系ステンレス鋼においては、C量を0.03%以下とすることで、耐食性について問題のないレベルまで炭化物の析出を抑制することが可能となる。例えば、ステンレス車両に用いられるSUS301Lは、C量を0.03%以下とすることにより溶接熱影響部の炭化物の析出を抑制することができるため、溶接後の固溶化熱処理を不要としている^{6,7)}。

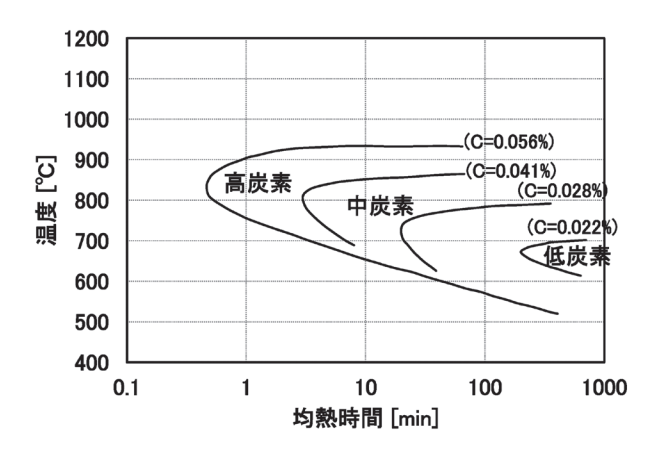


 図2
 オーステナイト系ステンレス鋼 SUS304の 炭化物析出領域のTTP図 (C量の影響)

炭化物析出による粒界腐食を防ぐ別の方法としてはTi, Nbなどの炭化物形成元素を添加し、M22C6ではなくCrを含 まないMCタイプの炭化物を優先的に析出させる方法もあ る。Tiを添加しているSUS321 (18Cr-9Ni-Ti-0.06C), Nbを添 加しているSUS347 (18Cr-9Ni-Nb-0.06C) がJISに登録され ている。炭素をTiC, NbCとすることで消費してM23C6の析 出を抑制するものであり、ステンレス鋼精錬における脱炭技 術が未熟で極低炭素化が困難であった時代には耐粒界腐食用 途に広く用いられていた。しかしながら、安定化熱処理と呼 ばれる900℃程度の熱処理が必要なこと、溶接などで一時的 に高温に晒されると効果が消えてしまうなど、所期の耐食性 を得るためには注意が必要である。これに対し、C量を低減 する方法は溶接などの熱履歴を経ても効果が維持されるた め、ステンレス鋼製造プロセスの進化により比較的安価に低 C化が達成できるようになったことから近年では主流となっ ている。

この様に炭化物の析出は耐食性を劣化させる場合がほとんどであるが、これとは逆にニッケル合金において意図的に粒界に炭化物を析出させ耐食性を改善させた例を紹介する⁸⁾。図3はAlloy600 (75Ni-15Cr-9Fe) の高温アルカリ溶液中でのIGSCC (Intergranular Stress Corrosion Cracking) 性および粒界腐食性におよぼす熱処理の影響を示したものである⁹⁾。

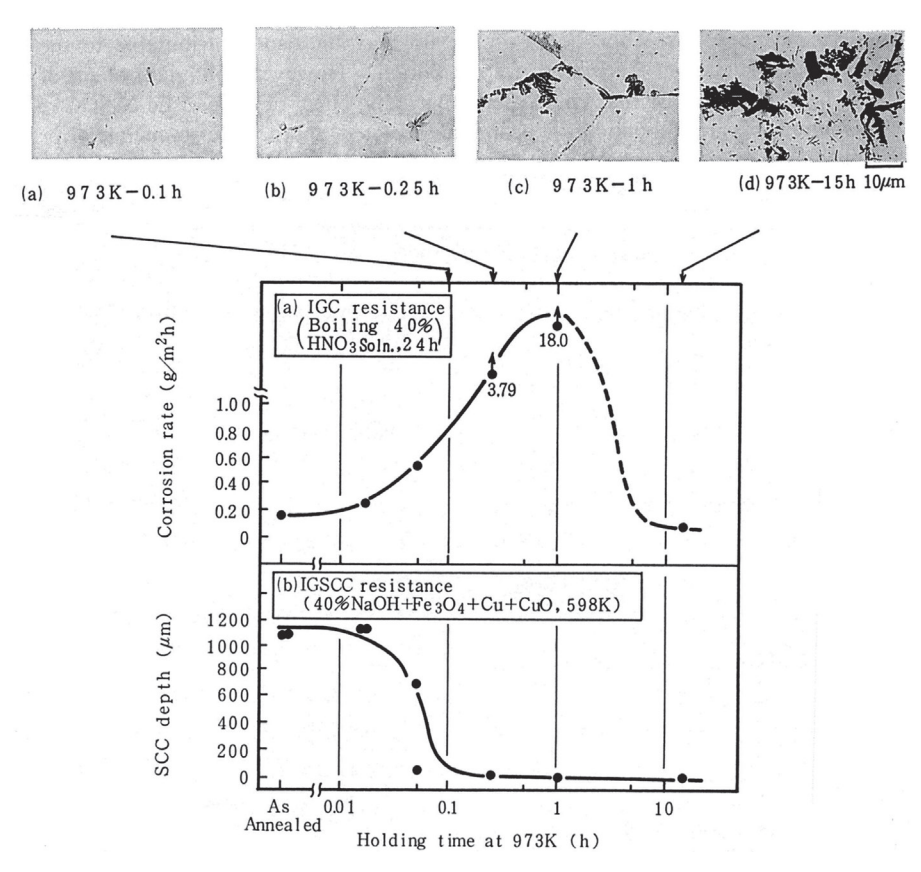


図3 Alloy600 におけるアルカリ IGSCC 性および耐粒界腐食性に及ぼす熱処理条件の影響

700℃に300sec以上保持すると粒界にM₂₂C₆が半連続状に 析出してCr欠乏層を形成し、40%硝酸による粒界腐食性が 増大している。しかしながら、高温アルカリ溶液中では逆に IGSCCが生じ難くなり、耐IGSCC性が向上している。炭化 物析出による耐IGSCC性向上のメカニズムは種々提案され ているが、Cr炭化物によるB, Pなど粒界偏析元素の取り込 み作用^{9,10)}と、粒界に半連続状に析出することによる歪集中 の分散化110、粒界交互整合析出による粒界強化120などが複合 して達成されていると考えられている。これ以外では、亀裂 先端部のCr炭化物が溶解し、生じたCrO。イオンが亀裂先端 部近傍でCr酸化物の被膜を形成し、これがSCCの進行を抑 制するというメカニズムも提案されている⁹。Cr炭化物を意 図的に溶解させ被膜として利用することができれば、耐食性 に対し炭化物の有効利用が図れることになる。特殊な環境に 限定される可能性が高いが、新たな利用法となる可能性を秘 めていると考える。

(3)

σ相による耐食性の劣化

ステンレス鋼中に析出する σ相は耐食性、靭性を低下させ る析出物として知られている^{13,14)}。σ相はFeとCrから成る 金属間化合物であり、Fe-Cr状態図では約25%以上のCrを含 有する場合600℃以上の温度で析出する。炭化物と比較する と、その析出速度は遅い。耐食性低下を招く理由は σ相の周 囲にCr欠乏層が生じるためであり、靭性の低下は σ 相が非常 に硬くて脆いためである。いずれも、少ない析出量でも問題 となる場合がある。フェライト系のみではなく二相系、オー ステナイト系ステンレス鋼においても析出することが知られ ており、σ相の析出挙動は炭化物と同様、温度と熱処理時間 により変化し、C曲線となる。σ相の析出挙動は組織により 異なり、次の様になる。フェライト系、オーステナイト系ス テンレス鋼で単相組織となっている場合は、まず粒界に析出 し、時間経過とともに粒内に析出する。二相ステンレス鋼に おいてはフェライト相/オーステナイト相の界面に析出し、 フェライト相が σ相+オーステナイト相となる反応をもって 進行する。オーステナイト相中に一部るフェライト相が残存 する場合、δフェライト相がσ相へと分解し、続いて粒界へ の σ相析出が生じる ^{15,16)}。

母相組織以外に合金元素も σ 相の析出挙動に影響を及ぼす。Cr, Moは σ 相の析出を促進するが、これら元素はステンレス鋼の耐食性を改善する元素であり、耐食性を向上させると析出し易くなることを意味している。フェライト系ステンレス鋼においてはCr, Si, Aloo影響が報告されており 17 、Crは増加に伴い高温短時間側へと析出曲線をシフトさせ、Siも顕著な促進作用を示し、Alは析出を抑制する。

二相系ステンレス鋼においても、合金元素の影響は報告さ れており、Cr, Moは析出を促進する。また、小川らはWの 添加によって析出が遅延されることを報告している 18,19)。こ れは σ 相の核生成がWを含む準安定相で生じるため、速度の 遅いWの拡散が成長律速となることをその原因としている。 Wの添加はσ相析出抑制に有効ではあるが二相ステンレス 鋼はCr. Moを比較的多く含有するため、析出までの猶予は 100sec程度²⁰⁾ である。近年Cr, Mo量をさらに増加させ耐食 性を向上させたスーパー二相ステンレス鋼が実用化されて、 2015年にSUS327L1 (25Cr-7Ni-4Mo-0.28N) としてJISへ登 録された。スーパー二相ステンレス鋼では σ相析出が更に短 時間で生じるため、析出挙動と耐食性の関係が注目されてい る。王²¹⁾ は、固溶化熱処理を施したSUS327L1について、850 ~1000℃で保持時間を種々変化させた熱処理を施し、σ相 析出量と耐食性の関係をSUS329J3L, SUS329J4Lと比較し て報告している。熱処理後のσ相析出量をEBSDを用いて測 定した結果を図4に示す。ノーズの温度は900℃で、30secの 保持で1%の σ 相が析出し、 σ 相量が10%へと到達するまで 4minであった。SUS329J3L、SUS329J4Lよりもかなり析出は 早い。これら熱処理を施したものの耐食性評価結果を図5に 示す。耐食性は20% NaCl水溶液中でアノード分極測定を行 い孔食電位で評価している。試験温度は鋼種毎に適宜選定し ている。いずれの鋼種においても、σ相の析出により耐食性 は顕著に変化し、析出量がわずかであっても孔食電位が大き く低下することが判る。σ相の析出量が1%となった場合の

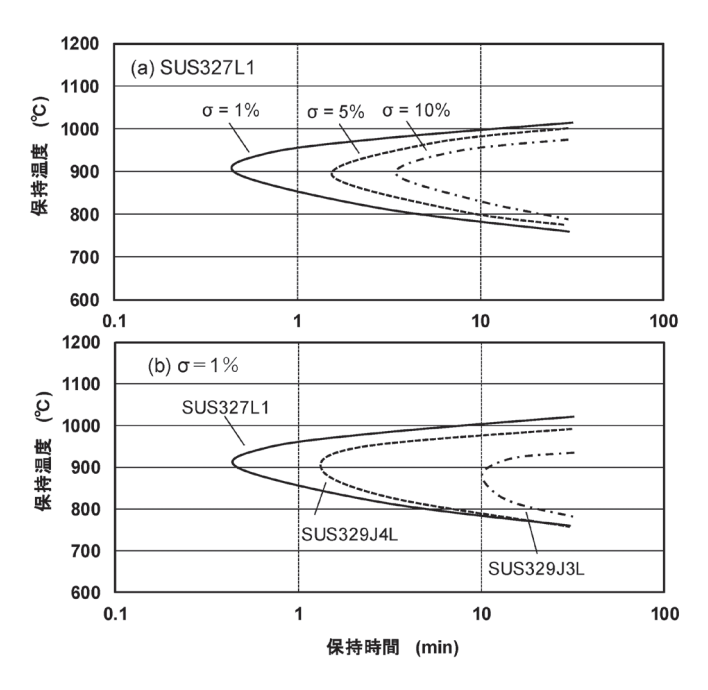


図4 EBSD法により測定した (a) SUS327L1における σ 相のTTP曲線、(b) σ 相の析出量を 1% とした場合の各種二相ステンレス 鋼の TTP曲線

孔食電位を固溶化状態と比較するとSUS327L1の電位低下が 顕著であり、スーパー二相ステンレス鋼における σ 相析出の 抑制が重要な課題であることが分かる。

オーステナイト系ステンレス鋼においても、 σ 相析出に及ぼす合金元素の影響については多数報告があり $^{2225)}$ C, N, Niは σ 相の生成を抑制し、Mn, Mo, Si, Ti, Nb, Zr, V, Al は σ 相の生成を促進することが知られている。Si $^{23)}$, Ti $^{24)}$, Mo 23 , Al $^{25)}$ については、状態図上で $\gamma/\gamma+\sigma$ の境界を低Cr 側へシフトさせることが報告されている。ステンレス鋼においてはC, N, Ni, Mnはオーステナイト相安定化元素であり、またMo, Si, Ti などはフェライト相安定化元素である。概ねオーステナイト相安定化元素は σ 相析出を抑制し、フェライト相安定化元素は促進する傾向を持つが、Mnは σ 相析出を促進する特異な元素である $^{22)}$ 。オーステナイト系ステンレス鋼としては、Ni を Mn で置換した Fe-Cr-Mn系ステンレス鋼が知られているが、Mn の影響により Fe-Cr-Ni 系ステン

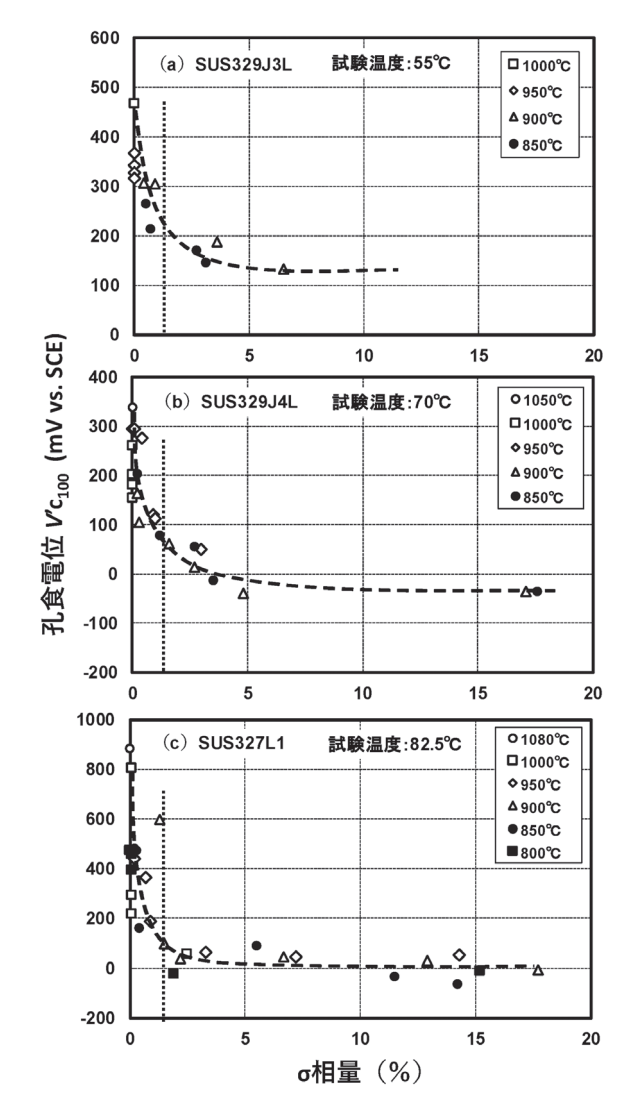


図5 各種二相ステンレス鋼の孔食電位におよぼす σ 相析出量の影響

レス鋼よりも σ 相が生成する組成範囲が広く、Cr含有量が $13\sim15\%$ の低Cr域まで拡大することが知られている 26 。 σ 相へのNiの固溶量が10%程度であるのに対し、Mnの固溶量が35%と大きいためと考えられている。 σ 相の生成に対する MnとNiでは挙動が異なることは注意すべきである。

ステンレス鋼の耐孔食性は、孔食指数 (Pitting Resistance Equivalent: PRE = Cr + 3.3×Mo + 16×N) で評価、比較さ れるのが一般的である。これは耐孔食性向上に効果がある 添加元素のCr、Mo、Nについて、Crの効果を1とした場合 のMoとNの添加量当たりの効果を各々3.3倍と16倍として まとめた指数である。近年PRE値が40を越える様な耐食性 に優れたステンレス鋼が実用化されており²⁷⁾、いずれも6% 程度のMoと0.2%程度のNを含有している。一部JISへも登 録されており、例えばSUS312L、SUS836Lといったもので ある。これらを σ 相析出という面からみるとCr, Moを多量 に含有するため析出し易い成分系であるが、Niに代表され る合金組成のバランスにより析出挙動は大きく異なる。図6 はSUS312L (20Cr-18Ni-6Mo-0.8Cu-0.2N)、SUS836L (23Cr-25Ni-5.5Mo-0.2N) について、1000℃-30min保持したものを EBSDにて分析した結果である。SUS312Lでは1%程度の σ 相が析出しているのに対し、SUS836Lでは0.2%と非常に少 なく、析出が抑制されていることが判る。750~1100℃の範 囲で種々の時間保持し、同じくEBSDにてσ相の析出量を求 めて作成したTTP曲線を図7に示す。 σ 相の析出量は0.5%, 1%としている。SUS312Lは1000℃-400sec保持で0.5%析出 するが、SUS836Lでは1000sec保持後も析出は少なく、0.5% に到達するのは950℃で2000secを要し、σ相の生成挙動 は大きく異なる。図8は1000℃で所定時間保持後の耐食性

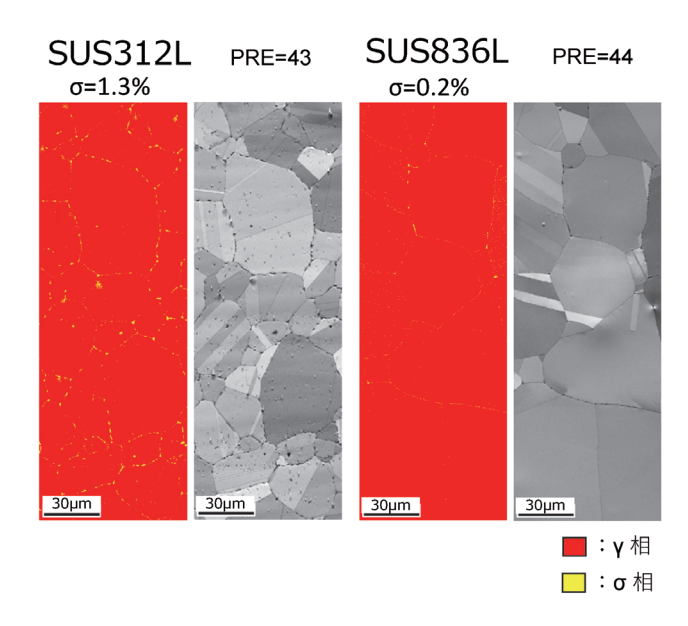


図6 SUS312L, SUS836L 1000°C -30min保持後のEBSD分析結果

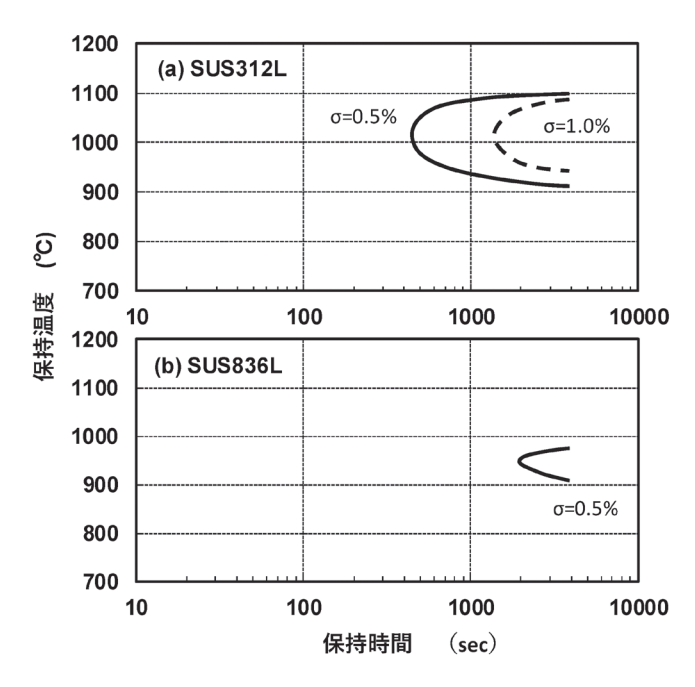


図7 SUS312L, SUS836L EBSD を用いて求めたTTP曲線

をASTM G48 Method Cに従った塩化第二鉄腐食試験により求めた臨界孔食発生温度 (CPT) で評価した結果である。SUS836Lは固溶化熱処理状態の耐食性を100sec程度まで維持しているのに対し、SUS312Lでは60secの時点で耐食性の低下が生じている。 σ 相析出による耐食性の低下は極微量でも生じるため、ユーザーにおいて溶接、熱処理などの工程がある場合、優れた耐食性を維持するにはSUS836Lの方が有利である。

σ相析出を抑制する対策としては、二相ステンレス鋼の場合と同様オーステナイト系ステンレス鋼においても析出を遅延させるための添加元素、最適組成の検討が継続されている。

4

ステンレス鋼の耐食性と介在物の 関係

鋼中の介在物は不可避であり、制御も容易ではない。ステンレス鋼に対する検討も長い歴史があり、組成、形態、量などをかなり制御できるようになってきており 28)、より精密に、より正確に制御するための検討が続けられている。介在物が耐食性に悪影響を及ぼすことは古くから知られており、MnSはその代表であろう 29)。これ以外には Cr_2O_3 , $CaO-Al_2O_3$ -MgO などの酸化物でも報告されている 30,31)が、硫化物が隣接して観察され、この硫化物が起点となり腐食とつながる場合など、硫化物が関与しているものが多い 31)。

MnSが腐食へとつながるメカニズムとしては、MnS全体

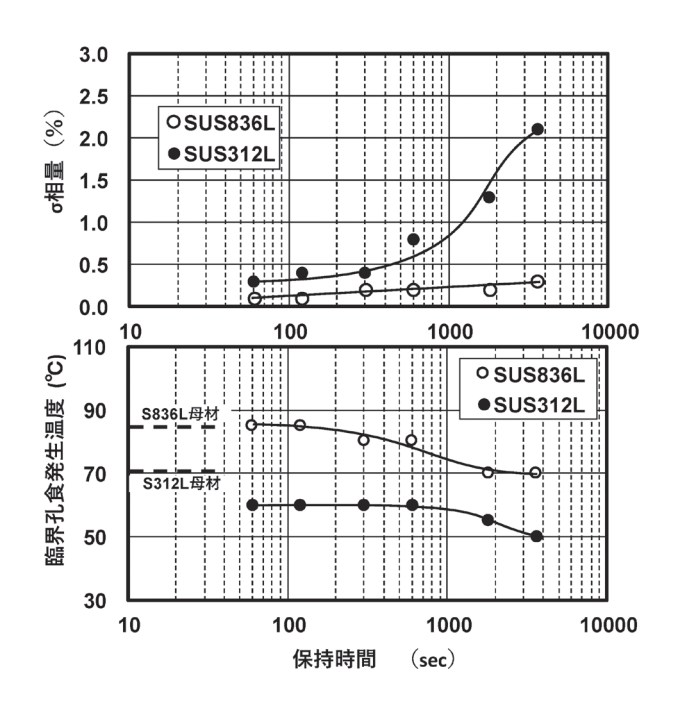


図8 SUS312L, SUS836L 1000℃保持による σ 相析出挙動と耐食性 評価結果

が溶解し小孔を形成、内壁面が不動態化せず活性溶解を生じさせること、これにあわせて H_2 Sが発生し不動態化を妨げることで孔食を発生させるというメカニズムが提唱されている。このため、MnSの溶解を抑制するべくMnS中の固溶 Cr量を多くすることが提案され、 H_2 SO $_4$ 環境でその効果が確認されている 320 。MnSを CrS、TiSとするなど、硫化物の種類を変化させることも有効とされている 330 。これ以外ではMnSの存在量を低減することが検討されており、これも有効であることが報告されている 340 。しかしながら、MnSの組成や種類を変えることはC、Ti、S量の厳密な管理が必要となり精錬負荷を増大してコスト増を招くこと、また<math>MnSを低減するためには精錬工程での脱硫操業負荷の増大を招き、同じくコスト増となる。

SUS304においてMnSが存在しなければ耐食性はどの程度まで向上するのかについては、武藤ら^{35,36)}が介在物を含まない微小領域において電気化学測定を行った結果を報告している。介在物の無い領域のSUS304 (18Cr-8Ni) の耐食性は通常の介在物を含むSUS316 (18Cr-12Ni-2.5Mo) を大きく上回るとしている。PREの式からその耐食性向上効果はCr量に換算すると8%以上となり、Ni量の削減もあわせ効果が大きい。同じく武藤らのマイクロセルを用いた研究^{37,38)}により、SUS304におけるMnSを起点とする孔食発生のメカニズムが明らかになっている。従来はMnSが溶解し小孔を形成すると考えられてきたが、MnS全体が溶解することは無く孔食が発生した後も大部分が残存すること、溶解は、MnS/鋼の境界部で集中的に起こり、ここに溝 (trench) を形成し、こ

れが孔食へと成長することを明らかにしている。そのメカニズムとしては、(1) 製造工程で介在物/鋼の境界に空隙を形成してしまっている、(2) MnSの溶解生成物により鋼が溶解するなどが提案されているが、武藤らは後者であるとしている。MnSが塩化物環境で溶解し硫黄が生成、これと塩化物イオンとの相乗作用により鋼側の溶解が生じるが、MnS/鋼境界部は硫黄濃度が高くなりやすいため、この部分が腐食されるとしている。現在、明らかとなったメカニズムをもとに硫黄の生成防止、境界部の溝状溶解の防止による根本的対策が検討されており、今後の進展が期待されている。

ステンレス鋼の耐食性は前述の通り Cr, Mo, Nを添加す ることで改善される。当然ながら、硫化物の溶解などにより 生じた小孔、溝 (trench) の耐食性も良化させると理解され る。Cr, Moの添加量増はコストアップを招くが、種々の環 境においても効果が安定して期待できることから有効性が高 く、現在の対策はこれが主流である。しかしながらCr, Mo などの添加に頼らない技術開発を目指す動きがあるのは前述 の通りである。そうすると、例えば、耐食性に優れたCr, Mo を含有するステンレス鋼における介在物の影響はSUS304な どの汎用的なステンレス鋼と同じであるのかということに興 味が持たれる。しかしながら、前述のマイクロセルを用いた 方法では、この様な高耐食ステンレス鋼が腐食するような厳 しい条件で安定して試験することは難しく、メカニズムの解 明はあまり進んでいない390。武井らは、高温で微小領域の電 気化学測定方法を提案し400、スーパーオーステナイトステン レス鋼であるSUS312Lを評価している。図9は、試験した後 の孔食発生部位の観察結果である。硫化物ではない介在物近 傍で孔食が確認されるが、TiNでは孔食は発生しなかったこ

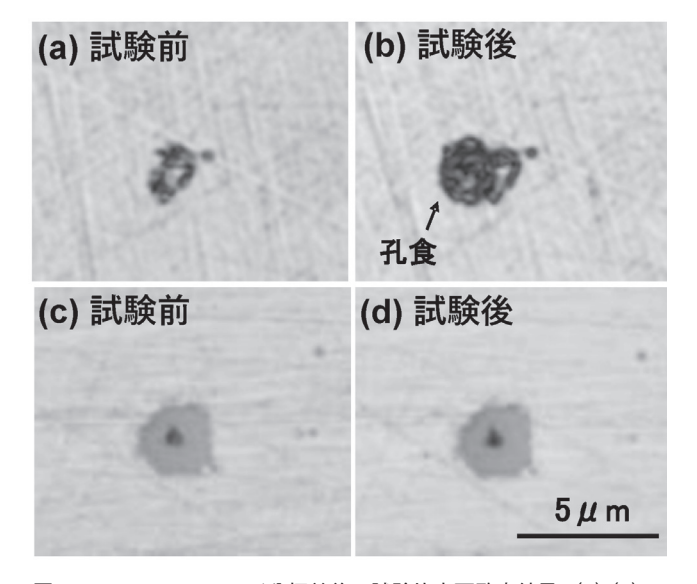


図9 SUS312L アノード分極前後の試験片表面監察結果, (a) (b) Al-Mg-Si 酸化物周辺, (c) (d) TiN周辺

とを確認している。また、同じ方法を用い、Weiら⁴¹⁾ は二相ステンレス鋼SUS329J4Lの溶接部を評価し、同じくMnSではない介在物の近傍で孔食が発生することを確認している。試験条件が変化すれば、溶解が生じる介在物種、溶解の程度などに違いが生じるため、鋼種毎にその影響を評価することは有益な知見をもたらすであろう。これについても今後の進展が期待されている。

5 おわりに

2021~2022年にステンレス鋼は誕生から110年を迎えることになる。その生産量は年々増加を続け、2010年が3,000万トンであったのが2018年には5,000万トンとなった。中国での製造能力アップが著しく、1社で1,000万トンを製造するメーカーが出現するなど市場は大きく変化している。しかしながら、ステンレス鋼の主な用途は耐食性であり、錆び難いことが最も重要な特性であることは変わらない。耐食性の向上にはCr, Moの添加が有効であるが、資源の乏しい我が国では元素の有効利用に関する技術開発は必須である。添加したCr, Moのパフォーマンスを充分に発揮させ、より少ない添加量で耐食性を向上させるためには、耐食性に及ぼす析出物の影響を更に微小領域を定量的に理解することが非常に重要と考えられる。本稿が析出物への理解をもとにブレークスルー技術の開発を行う参考になれば幸いである。

参考文献

- 1) 細井祐三監修: ステンレス鋼の科学と最新技術 ステンレス鋼100年の歩み , ステンレス協会, (2011), 119.
- 2)田中良平編集: ステンレス鋼の選び方・使い方, 日本規格協会、(1994)、296.
- 3) E. Weiss and R. Sticker: Metall. Tans. A, 3 (1972), 851.
- 4) 例えば, 梶村 治彦: 材料, 60 (2011), 862.
- 5) 須永寿夫: ステンレス鋼の損傷とその防止, 日刊工業新聞社, (1977), 35.
- 6)田中照夫,大崎慶治,渡辺治幾,星野和夫:鉄と鋼,69 (1983),1456.
- 7) 平松博之,中田潮雄,住友秀彦,吉村博文:鉄と鋼,70 (1984),588.
- 8) 山中和夫:鉄と鋼, 79 (1993), 1022.
- 9) 山中和夫: 材料と環境、41(1992)、462.
- 10) N. Pessall, G. P. Airey and B. P. Lingenfelter: Corrosion, 35 (1979), 100.
- 11) S.M.Bruemmer, L.A.Charlot and C.H.Henager Jr., : Corrosion '87, NACE, 88 (1987), 782.
- 12) T. Yonezawa, N. Sasaguri and K. Onimura: 1998 JAIF

- Int. Conf. on Water Chemistry in Nuclear Power Plant, Tokyo, 1 (1998), 490.
- 13) 田中良平 編集: ステンレス鋼便覧 第3版, 日刊工業新聞 社, (1995), 188.
- 14) D.Peckner and I.M.Bernstein: Handbook of Stainless Steels, McGraw-Hill, (1977), 4-61.
- 15) D.M.E.Villanueva, F.C.P.Junior, R.L.Plaut and A.F.Padilha: Mater. Sci. Tech., 22 (2006), 1098.
- 16) Chih-Chun Hsich and Weite Wu: ISRN Metall., 2012 (2012), 1.
- 17) K. Bungardt, H. Borchers and D. Kolsh: Arch. Eisen., 34 (1963), 465.
- 18) 小川和博, 岡本弘, 五十嵐正晃, 植田昌克, 森友希, 小林 経明:溶接学会論文集, 14 (1996), 368.
- 19) 小川和博, 小簿孝裕: 溶接学会論文集, 33 (2015), 55.
- 20) 小川和博, 小簿孝裕: 溶接学会論文集, 33 (2015), 62.
- 21) 王昆: 腐食防食部門員会 第303回例会資料, (2015年3 月12日)
- 22) 熊田健三郎:日本金属学会会報, 2 (1963), 261.
- 23) M.E.Nicholson, C.H.Samans and F.J.Shortsleeve: Trans. Am. Soc. Met., 44 (1952) . 601.
- 24) B. Hattersley and W. Hume-Rothery: Metall. Trans A., 20 (1989), 2259.
- 25) J.D.Joones and W.Hume-Rothery: J. Iron Steel Inst., 204 (1966), 1.
- P.Schafmeister and R. Ergang: Arch. Eisen., 12 (1938/1939),
 507.
- 27) 矢部室恒, 根本力男, 北川尚男, 玉田明宏: 腐食センターニュース, (2012) 059, 1.

- 28) 轟秀和, 稲田爽一:第182·183 回西山記念技術講座, 日本鉄鋼協会, 東京, (2004), 227.
- 29) 久松敬弘:鉄と鋼, 63 (1977), 574.
- 30) A. Szummer: Corrosion, 23 (1967), 208.
- 31) 木下昇, 大橋延夫, 竹田元彦: 鉄と鋼, 57 (1971), 2152.
- 32) 滝沢喜久男, 志水康彦, 樋口義弘, 田村今男: 金属表面技術, 36 (1985), 242.
- 33) K. Oikawa, H. Mitsui, T. Ebata, T. Takiguchi, T. Shimizu, K. Ishikawa, T. Noda, M. Okabe and K. Ishida: ISIJ Int., 42 (2002), 806.
- 34) P.Poyet, A.Desestret, H.Coriou and L.Grall: Mem. Sci. Rev., 72 (1975), 133.
- 35) A. Chiba, I. Muto, Y. Sugawara and N. Hara: J. Electrochem. Soc., 160 (2013), C511.
- 36) 武藤泉, 菅原優, 原信義:まてりあ, 56 (2017), 175.
- 37) A.Chiba, I.Muto, Y.Sugawara and N.Hara: J. Electrochem. Soc., 159 (2012), C341.
- 38) 武藤泉, 千葉亜耶, 東城雅之, 菅原優, 原信義: 鉄と鋼, 105 (2019), 207.
- 39) S.H.Jeon, D.H.Hur, H.J.Kim and Y.S.Pakr : Mater. Trans., 55 (2014), 1872.
- 40) 武井隆幸: 材料とプロセス, 29 (2016), 818, CD-ROM.
- 41) M. Sasa, F.G. Wei and K. Wang: 10th Int. Conf. on Trends in Welding Research & 9th Int. Welding Symposium of Japan Welding Society, 1 (2016), 492.

(2020年4月16日受付)